

ИЗМЕНЕНИЕ СТУПЕНИ ИНТЕРКАЛИРОВАНИЯ У СОЕДИНЕНИЯ ГРАФИТА $C_{16}ICl$ ПОД ДЕЙСТВИЕМ ДАВЛЕНИЯ

Н.Б.Брандт, С.В.Кувшинников, С.Г.Ионов

Впервые обнаружено изменение ступени интеркалирования у соединения внедрения в графит акцепторного типа $C_{16}ICl$ под действием гидростатического давления. Определены происходящие при этом изменения параметров энергетического спектра носителей тока.

При интеркалировании графита кислотами, солями, щелочными металлами происходит перераспределение электронной плотности между атомами углерода и внедренного вещества. В образующихся соединениях внедрения в графит (СВГ) на несколько порядков увеличивается число свободных носителей (в тех случаях, когда интеркалят является акцептором — „дырок”), что является одной из причин возникновения „суперметаллической” проводимости у соединений акцепторного типа¹.

Энергетический спектр носителей тока у СВГ определяется степенью интеркалирования (номер ступени равен числу атомарных углеродных слоев, расположенных между ближайшими слоями внедренного вещества) и свойствами интеркалята: его составом, плотностью упаковки и взаимным расположением молекул. У соединений графита акцепторного типа поверхность Ферми состоит из нескольких цилиндров, ориентированных вдоль оси „C”. У СВГ первой ступени шесть таких цилиндров расположены в углах гексагональной зоны Бриллюэна. Такой же характер поверхности Ферми сохраняется и у соединения второй ступени $C_{16}ICl$, с той лишь разницей, что радиус каждого цилиндра возрастает. У СВГ третьей ступени $C_{24}ICl$ в каждом из углов зоны Бриллюэна имеются по два коаксиальных цилиндра (в случае более сильных чем монохлорид иода окислителей число таких цилиндров может возрастать до трех)^{1,2}. Поскольку сжимаемость СВГ в направлении оси „C” достаточно велика (анизотропия сжимаемости $\sim 10^2$), можно ожидать, что давление должно оказывать сильное влияние на свойства этих соединений. Насколько нам известно, этот вопрос у соединений акцепторного типа до настоящего времени не исследован.

В настоящей работе исследованы квантовые осцилляции поперечного магнетосопротивления (эффект Шубникова – де Гааза) у СВГ второй ступени монохлорида иода $C_{16}ICl$ при давлениях до ~ 12 кбар. Давление создавалось в камере с керосин-масляной средой при комнатной температуре и для сохранения высокой степени гидростатичности давления камера охлаждалась с одновременным нагревом образца по методу, предложенному в работе³. Специфика низкотемпературных исследований в камерах подобного типа заключается в том, что из-за разности термических коэффициентов расширения среды, передающей давление, и материала корпуса камеры давление при комнатной температуре на ~ 3 кбар выше, чем при гелиевой температуре³. Эту поправку необходимо учитывать, если изменения в образце, вызванные давлением, происходят при комнатной температуре, а затем „замораживаются”. В проведенных экспериментах величина давления при гелиевых температурах определялась по изменению температуры перехода оловянного датчика в сверхпроводящее состояние.

При атмосферном давлении у соединения $C_{16}ICl$ наблюдаются монохроматические осцилляции ШДГ, соответствующие экстремальному сечению $S_{2\text{экстр}} = (287 \pm 2) \cdot 10^{-42} \text{ г}^2 \cdot \text{см}^2 \cdot \text{с}^{-2}$ и эффективной массе $m_2^* = (0,132 \pm 0,010) m_0$. Используя эти данные и модель энергетического спектра, предложенную в работе², можно вычислить энергию Ферми по формуле:

$$\epsilon_F = \frac{1}{2} \left\{ \gamma_1 - \sqrt{\gamma_1^2 + 9\gamma_0^2 b_0^2 \frac{p_F^2}{\hbar^2}} \right\}, \quad (1)$$

где γ_0 и γ_1 – резонансные интегралы перекрытия волновых функций атомов углерода в слое (γ_0) и в соседних слоях (γ_1), $b_0 = 1,42 \text{ \AA}$ – расстояние между ближайшими атомами углерода в базисной плоскости, $p_F = \sqrt{S_{\text{экстр}}/\pi}$ – граничный импульс Ферми. По данным для оптического отражения² для соединения $C_{16}ICl$ значение $\gamma_1 = 0,377 \text{ эВ}$. Для определения у соединения $C_{16}ICl$ параметра γ_0 можно воспользоваться формулой:

$$m_2^* = 2h \sqrt{\gamma_1^2 + 9\gamma_0^2 b_0^2} \frac{p_F^2}{\hbar^2} / 9\gamma_0^2 b_0^2, \quad (2)$$

в которой значение m_2 известно. Вычисленное таким способом $\gamma_0 = 2,5 \text{ эВ}$ хорошо согласуется с величиной этого параметра у графита, у которого, по данным различных работ, оно варьируется от 2,4 до 3,2 эВ.

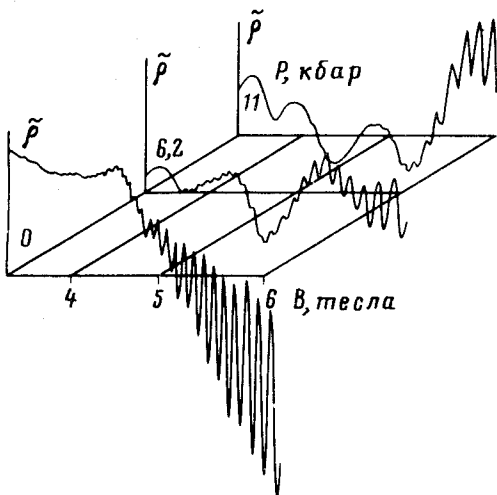


Рис.1.

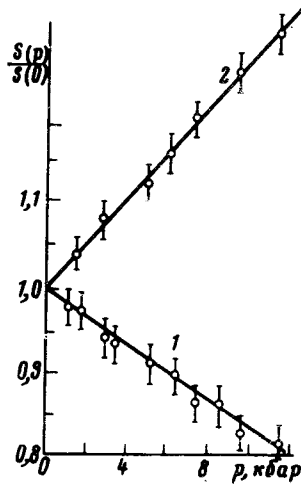


Рис.2

Рис.1. Зависимости осциллирующей части поперечного магнито сопротивления от магнитного поля у СВГ монохлорида иода при различных давлениях

Рис.2. Относительное изменение площадей экстремальных сечений при сжатии: 1 – $S_{2\text{экстр}}$, 2 – $S_{3\text{экстр}}$

При всестороннем сжатии у образцов соединения $C_{16}ICl$ наблюдается появление новой частоты осцилляций ШДГ, соответствующей сечению поверхности Ферми $S_{3\text{экстр}} = (25 \pm 0,5) \cdot 10^{-42} \text{ г}^2 \cdot \text{см}^2 \cdot \text{с}^{-2}$. Такое же по величине экстремальное сечение характерно для соединения $C_{24}ICl$ третьей ступени (это сечение внутреннего коаксиального цилиндра меньшего радиуса). Осцилляции, связанные с внешним цилиндром Ферми, не наблюдаются, так как его сечение приблизительно в два раза превышает сечение $S_{2\text{экстр}}$. При увеличении давления величина $S_{3\text{экстр}}$ возрастает со скоростью $d\ln S_{3\text{экстр}}/dp = 0,027 \text{ кбар}^{-1}$, в то время как площадь сечения $S_{2\text{экстр}}$ убывает со скоростью $d\ln S_{2\text{экстр}}/dp = -0,017 \text{ кбар}^{-1}$. Энергия Ферми, вычисленная по формуле (1), с учетом изменения параметра γ_1 при сжатии⁴, уменьшается по абсолютной величине от значения $\epsilon_F = -0,36 \text{ эВ}$ при $p = 0$ со скоростью $d\epsilon_F/dp = 6,5 \text{ мэВ} \cdot \text{кбар}^{-1}$. Площади экстремальных сечений изменяются с давлением по линейному закону и обратимым образом в области $< 12 \text{ кбар}$. При увеличении давления амплитуда осцилляций ШДГ, соответствующих сечению $S_{2\text{экстр}}$ уменьшается, а амплитуда осцилляций, соответствующих сечению $S_{3\text{экстр}}$ увеличивается. Это указывает на возрастание доли объема фазы соединения третьей ступени в образце.

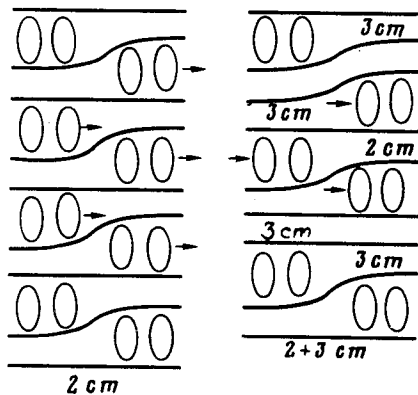


Рис.3. Модель перестройки доменной структуры $C_{16}ICl$ под действием давления.

Полученные данные указывают на то, что у СВГ монохлорида иода под действием давления происходит фазовый переход с изменением ступени интеркалирования некратным образом: от второй к третьей. Характерной особенностью перехода является монотонное (и, по-видимому, бесспороговое по давлению) увеличение содержания областей третьей ступени состава $C_{24}ICl$ и уменьшение содержания областей второй ступени состава $C_{16}ICl$ в объеме образца. Одновременно уменьшается концентрация носителей тока в областях второй ступени в результате уменьшения межплоскостных расстояний. Концентрация носителей тока в областях третьей ступени при увеличении давления возрастает. Одновременное наблюдение осцилляций ШДГ, соответствующих сечениям поверхности Ферми соединений второй и третьей ступени, свидетельствует о сохранении монокристалличности соответствующих областей, несмотря на $\sim 30\%$ различие периода идентичности у соединений $C_{16}ICl$ и $C_{24}ICl$. Структуру образца, возникающую в процессе фазового перехода, можно объяснить на основе доменной модели СВГ⁵. Поскольку внедрение интеркалята происходит от периферии образца к центру, возможно образование доменов определенной ступени, размеры которых меньше размеров кристаллитов, с образованием границ раздела в виде деформированных графитовых слоев. При воздействии давления при комнатной температуре происходит диффузия молекул монохлорида иода в базисной плоскости вдоль графитовых слоев с соответствующим перемещением доменной границы, как, например, показано на рис.3. Избыток интеркалята вытесняется на границы кристаллитов. При снятии давления происходит частичное восстановление первоначальной структуры, о чем свидетельствует возрастание амплитуды осцилляций ШДГ, соответствующих S_2 экстр., и уменьшение амплитуды осцилляций, соответствующих S_3 экстр.

Авторы выражают благодарность профессору К.Н.Семененко, а также В.В.Авдееву и В.А.Муханову за предоставление образцов и обсуждение результатов.

Литература

- Брандт Н.Б., Кувшинников С.В., Ионов С.Г., Муханов В.А., Авдеев В.В., Семененко К.Н. Письма в ЖТФ, 1982, 8, 1494.
- Blinowski J., Nguyen H.H., Rigaux C., Vieren J.P., LeToullc R., Furdin G., Herold A., Melin J. J. Phys. Paris, 1980, 41, 47.
- Брандт Н.Б., Кувшинников С.В., Минина Н.Я., Скунетров Е.П. ПТЭ, 1974, 6, 160.
- Брандт Н.Б., Котосонов А.С., Кувшинников С.В., Семенов М.В. ЖЭТФ, 1980, 79, 937.
- Daumas N., Herold A. C.R. Acad. Sci., 1969, 268, 373.